

Fig. 2

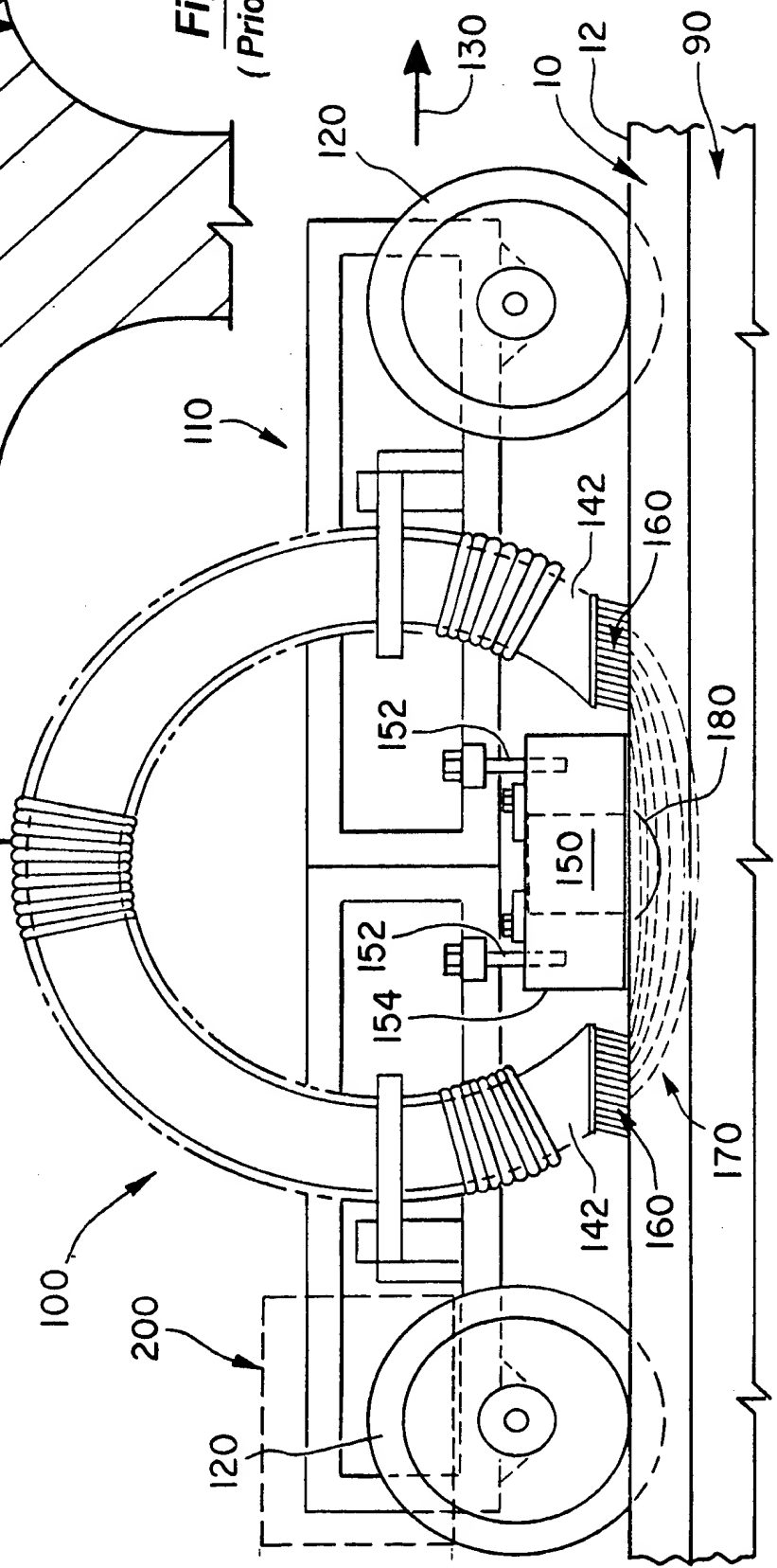


Fig. 1
(Prior Art)

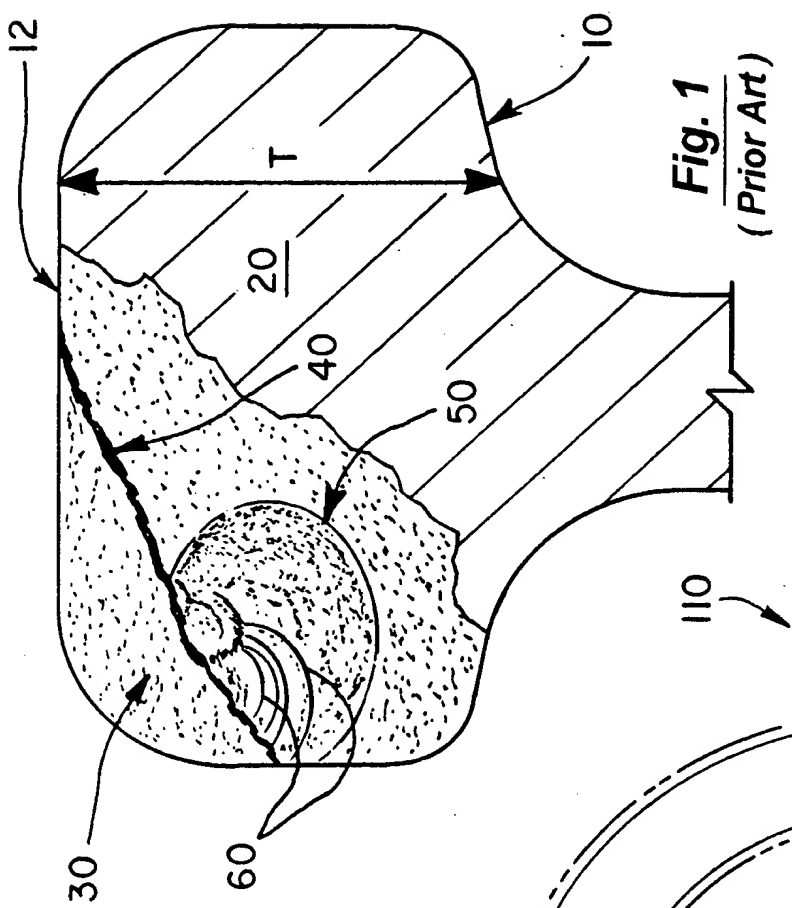


Fig. 3

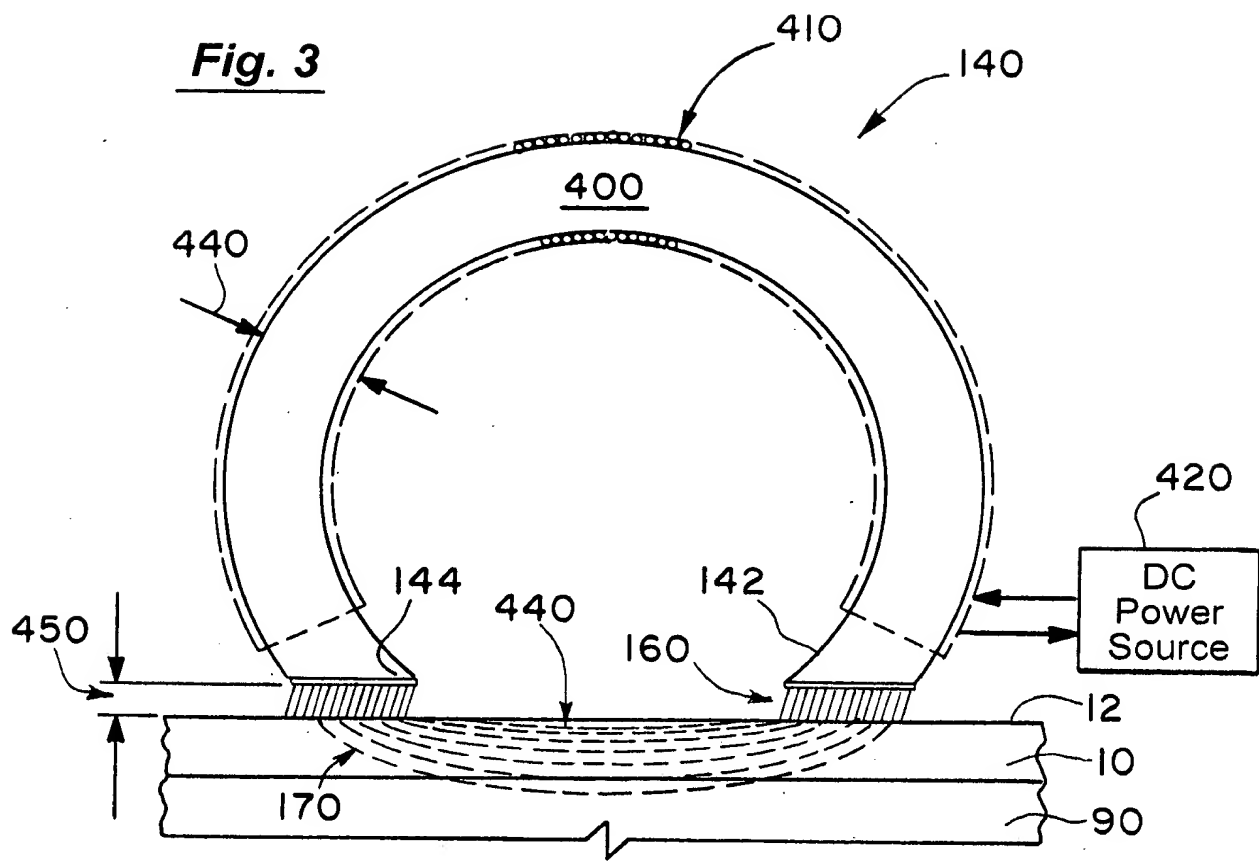


Fig. 4

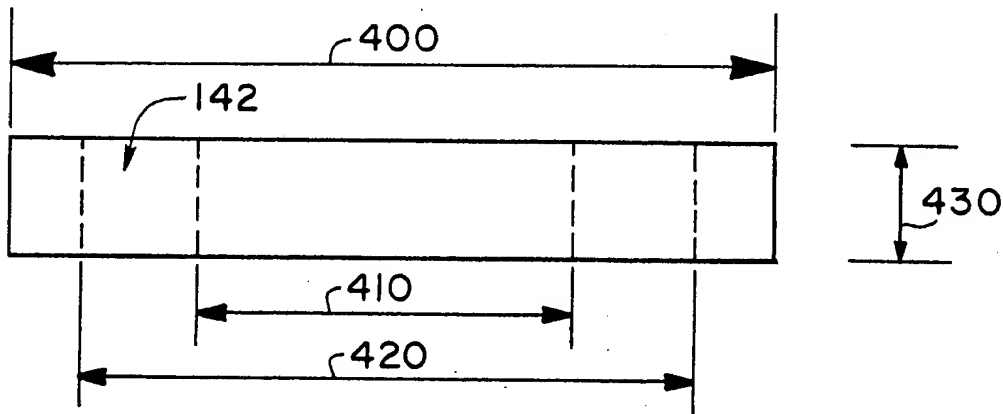


Fig. 5

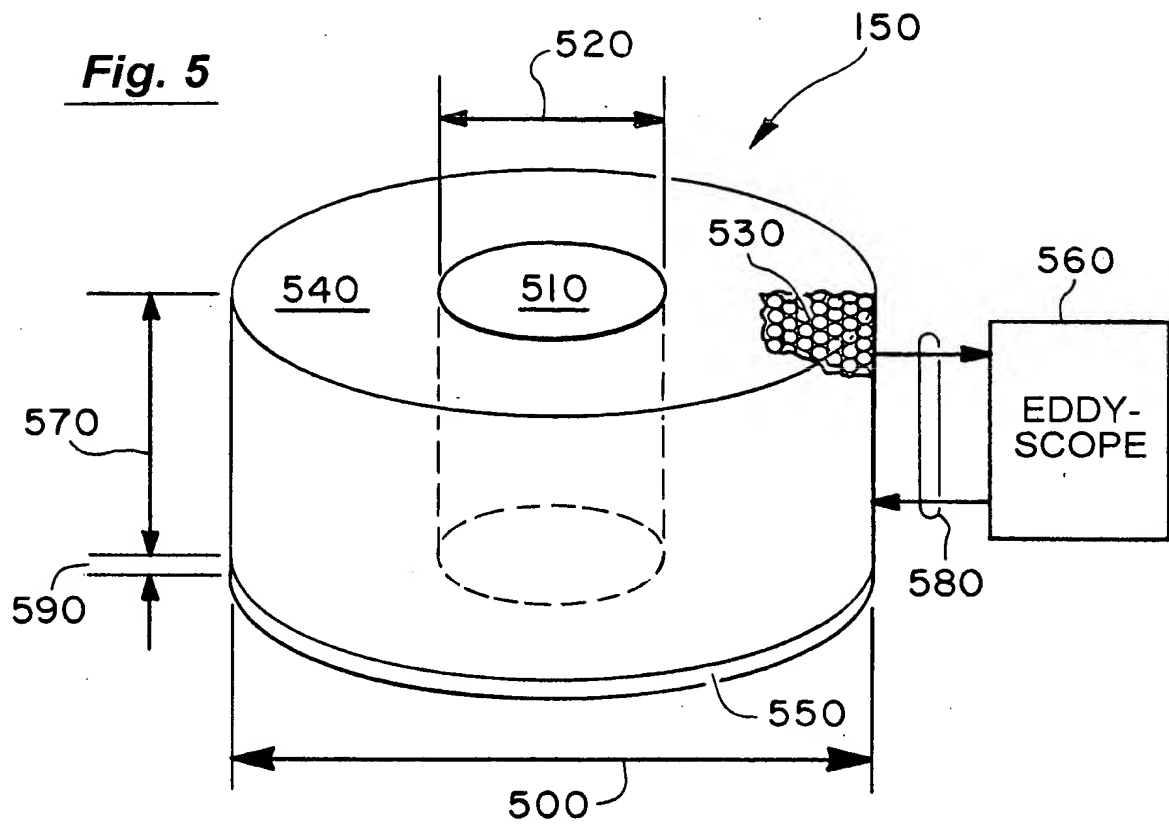
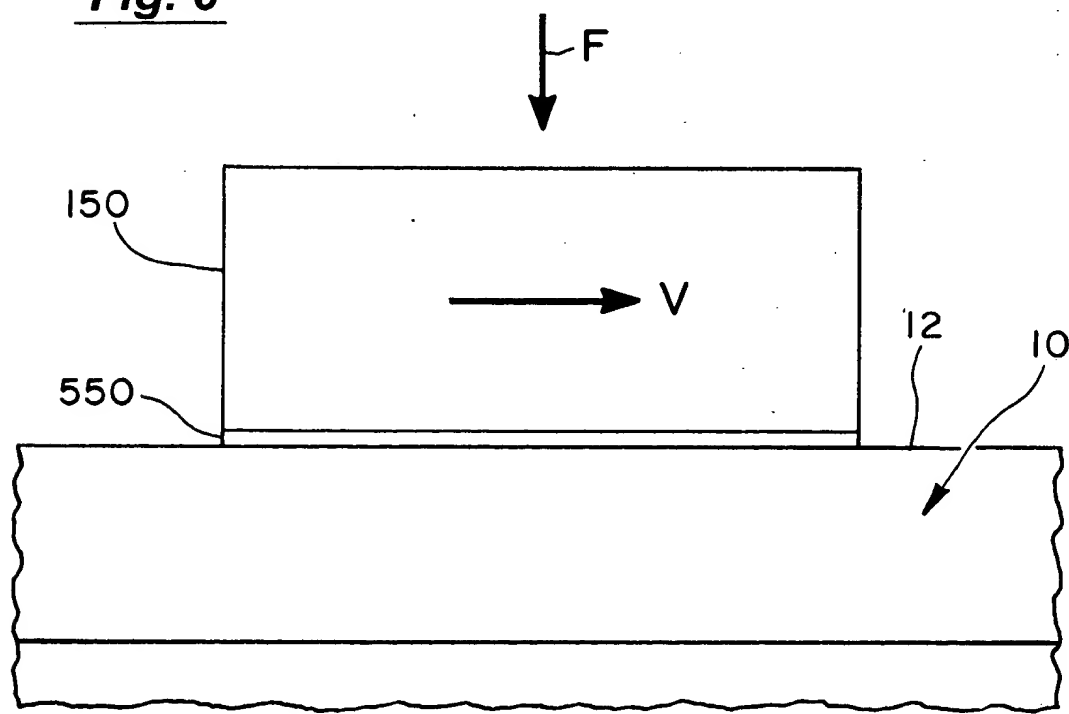


Fig. 6



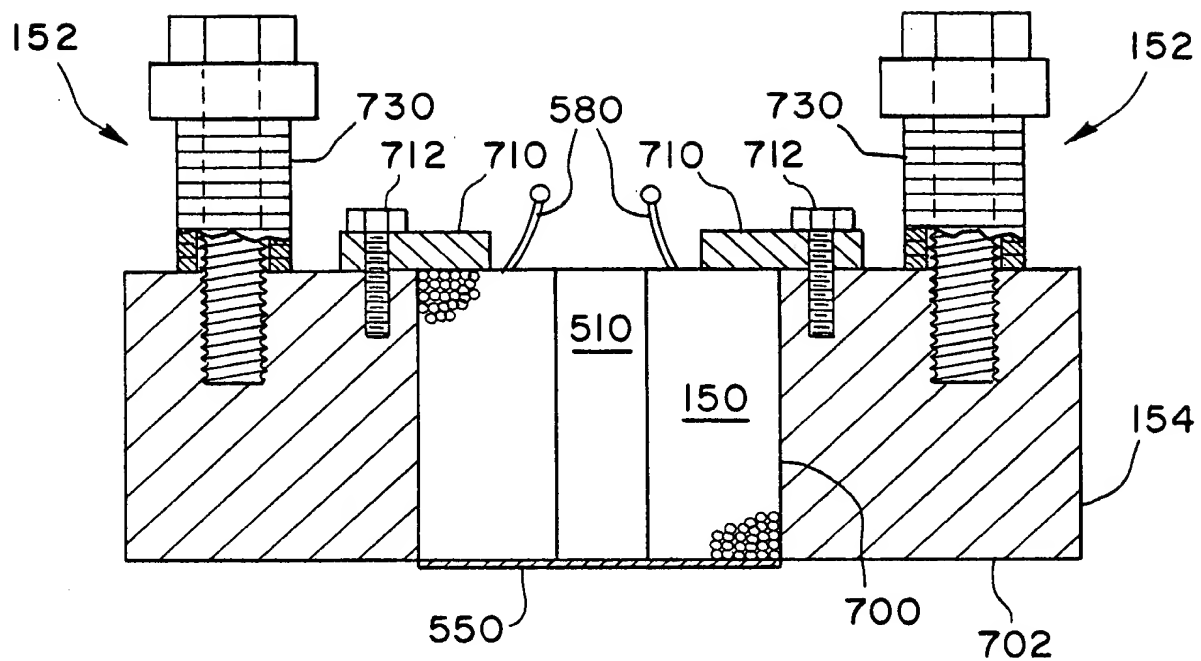


Fig. 7

Fig. 10

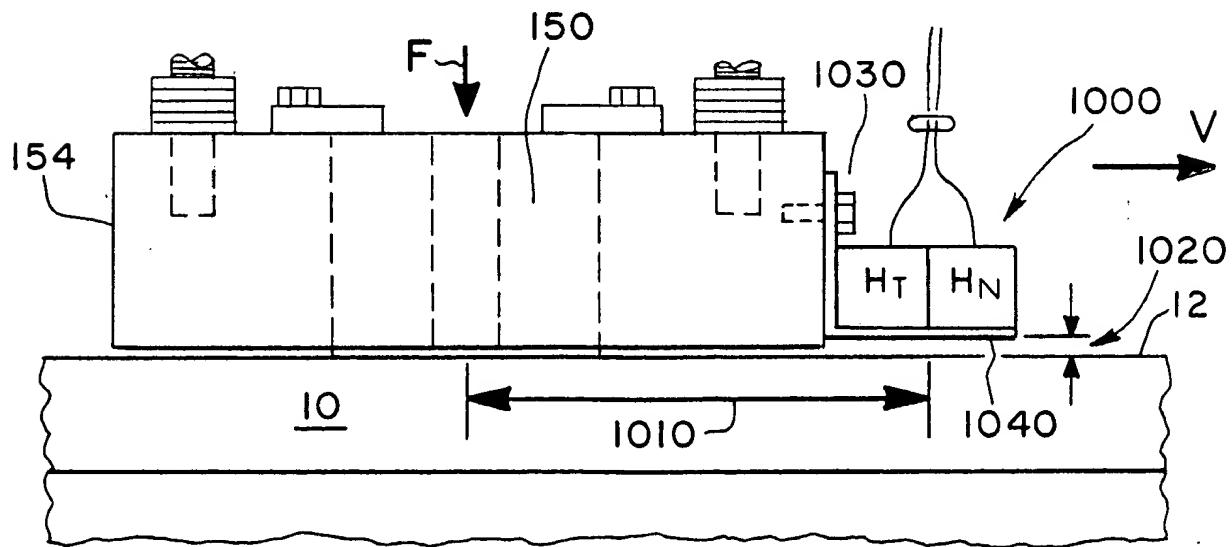


Fig. 8

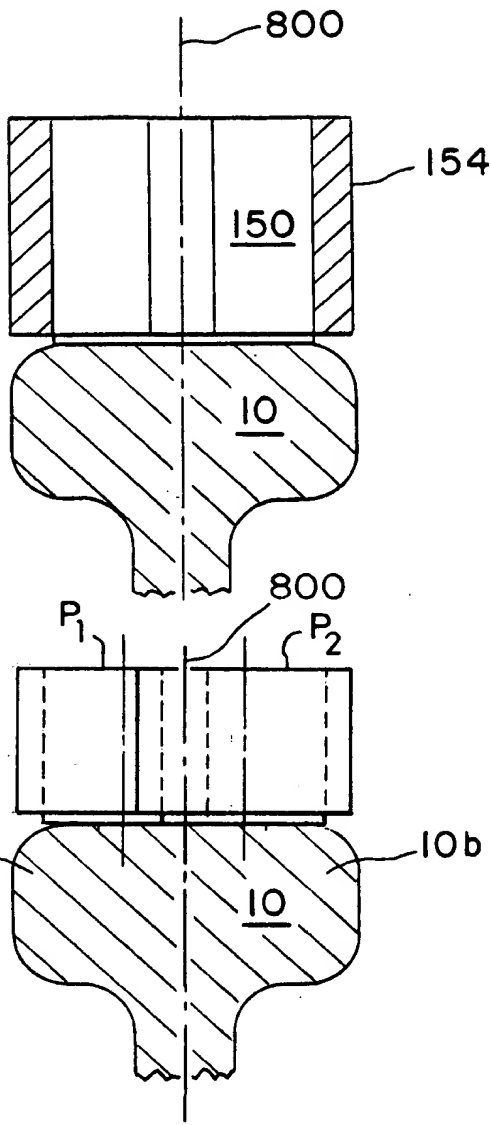


Fig. 9(a)

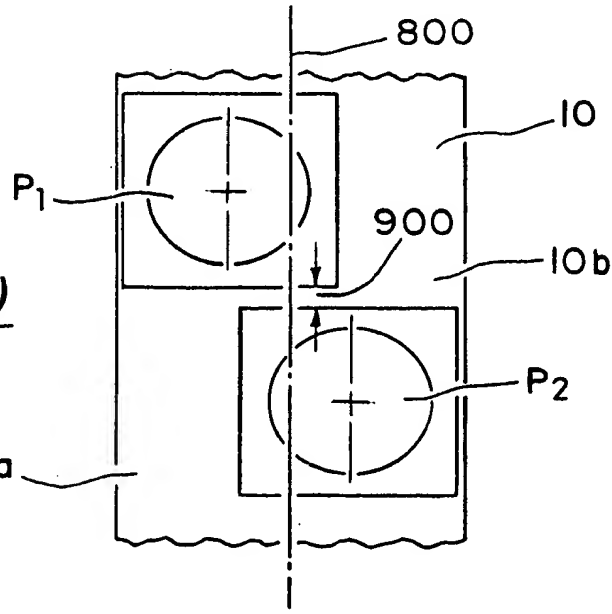
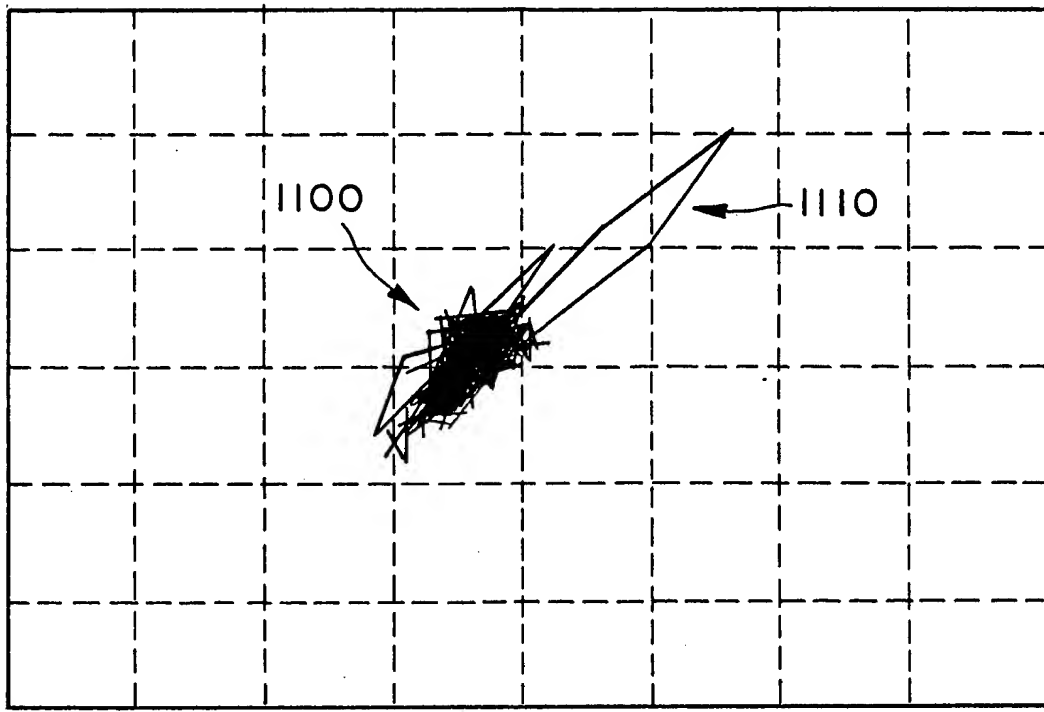


Fig. 9(b)

Fig. 11



1200 10



Fig. 12(a)

H_N 1210

Fig. 12(b)

H_T 1220

Fig. 12(c)

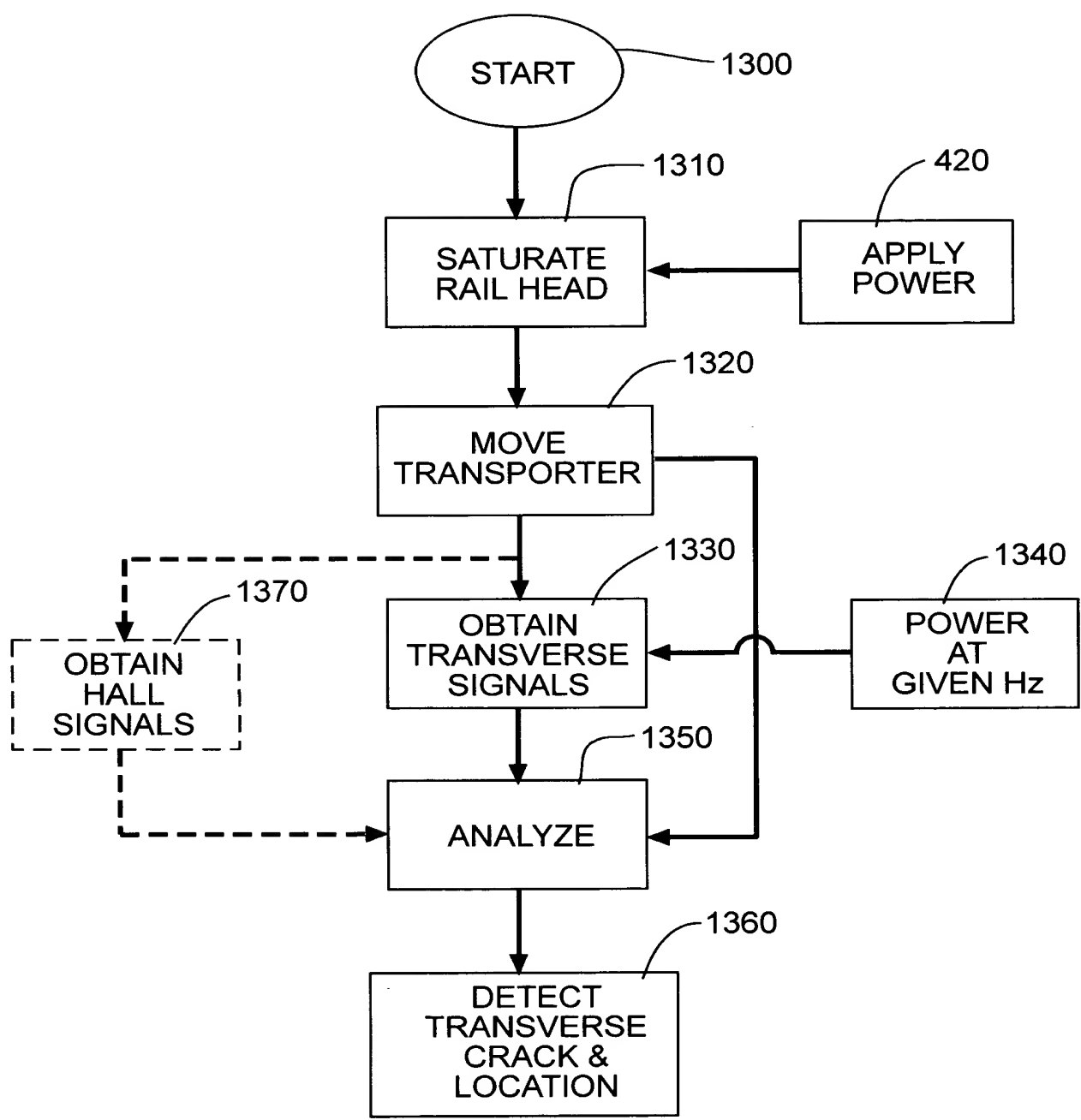


Fig. 13

Fig. 14

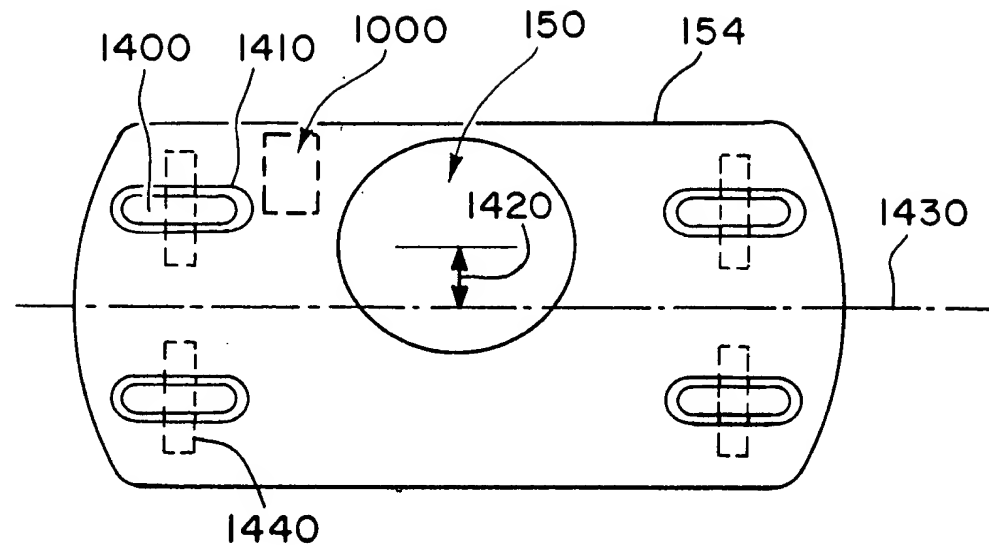


Fig. 15

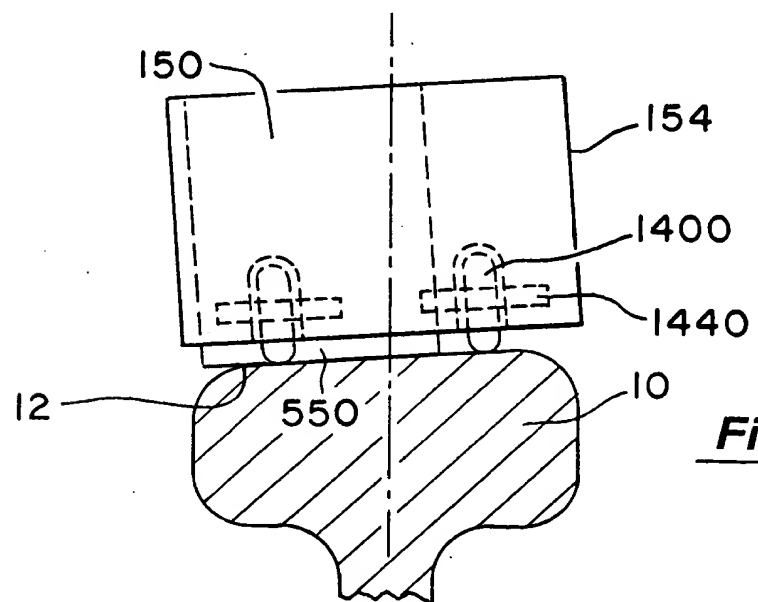
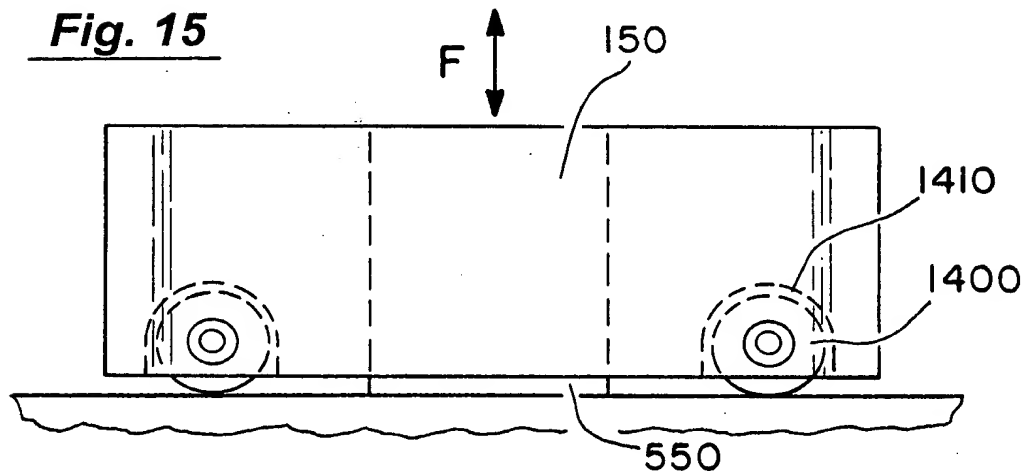


Fig. 16

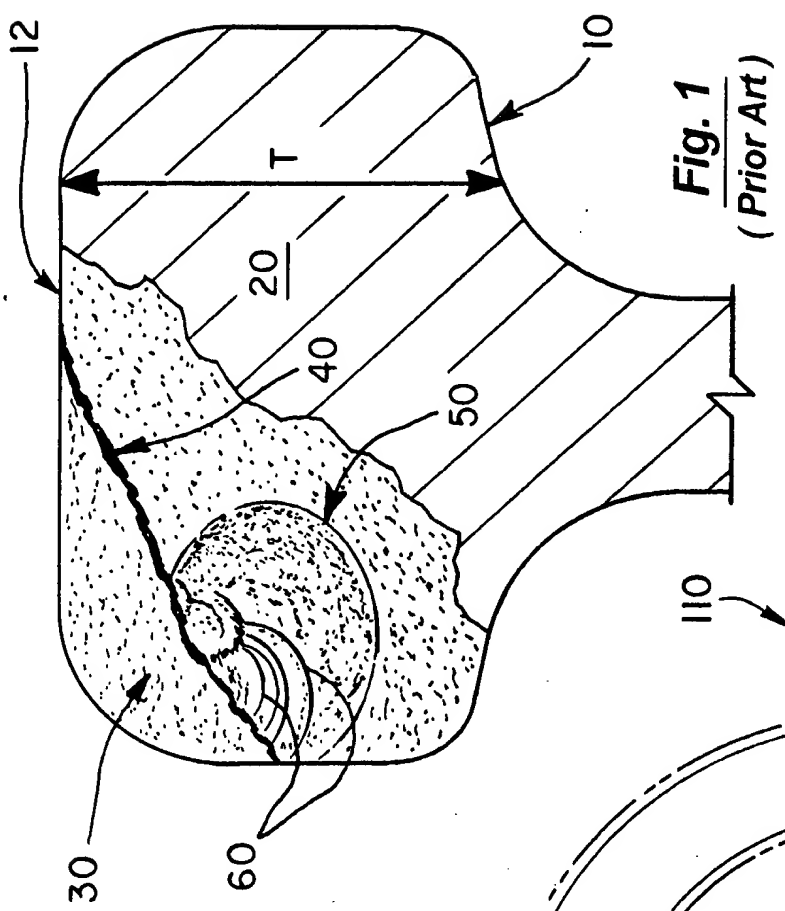


Fig. 2

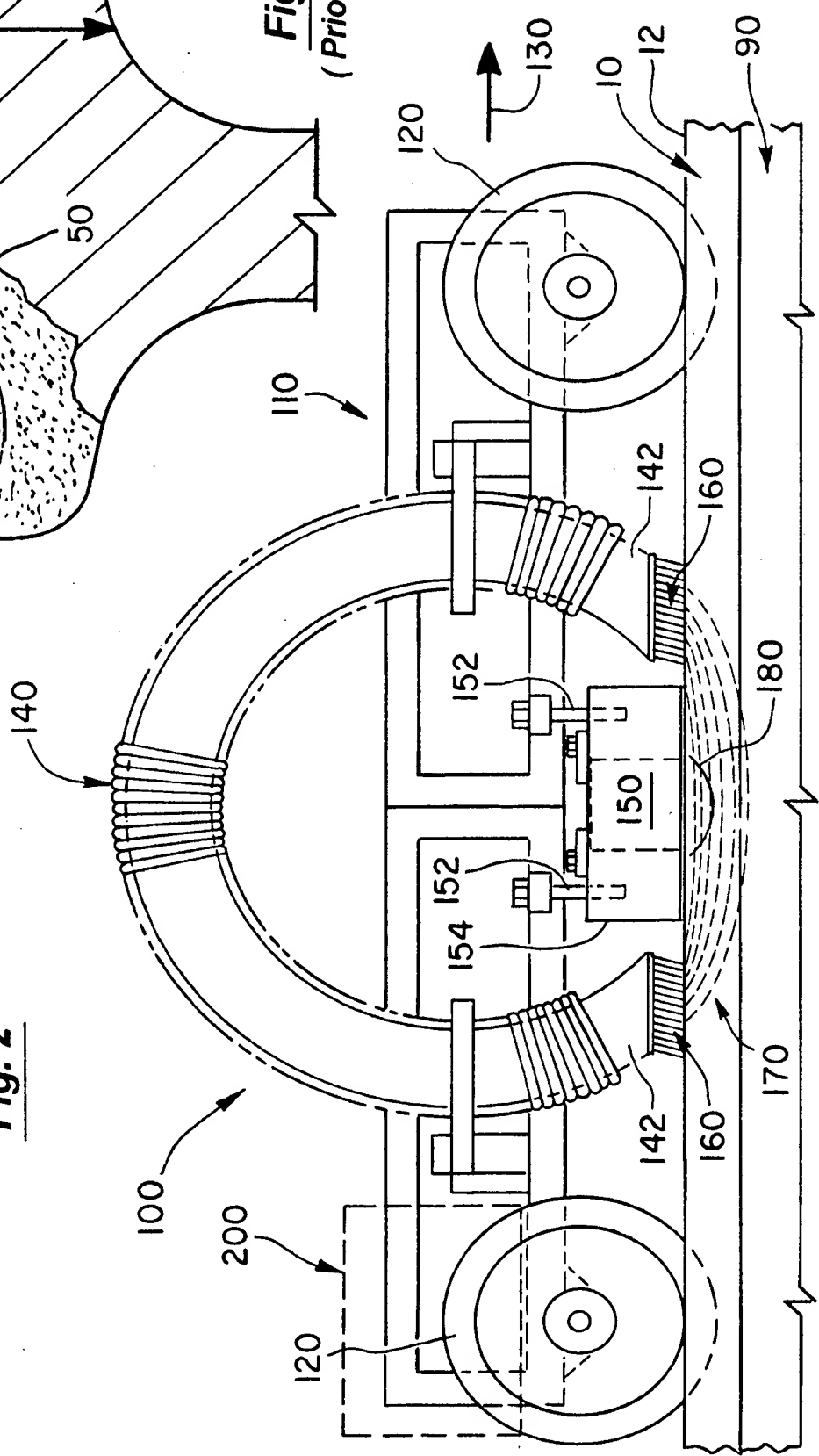


Fig. 3

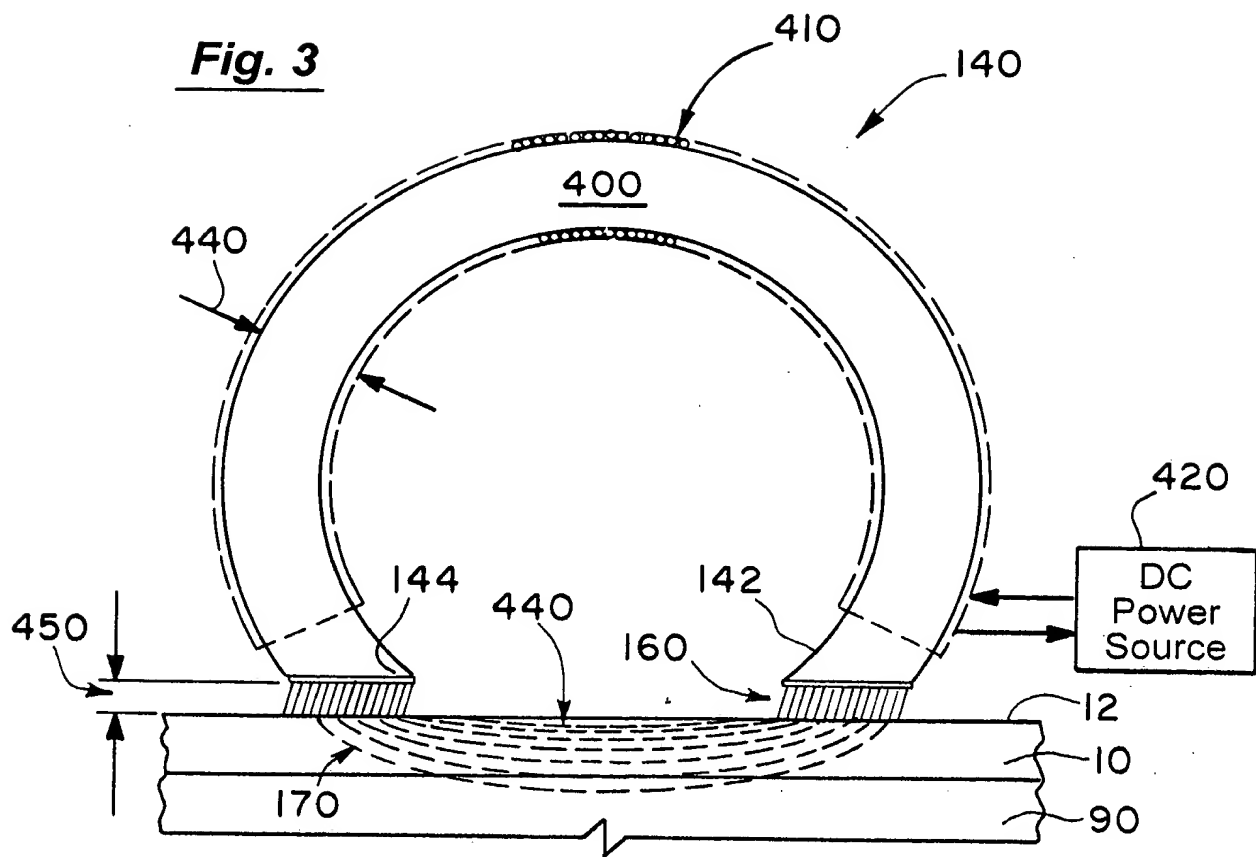


Fig. 4

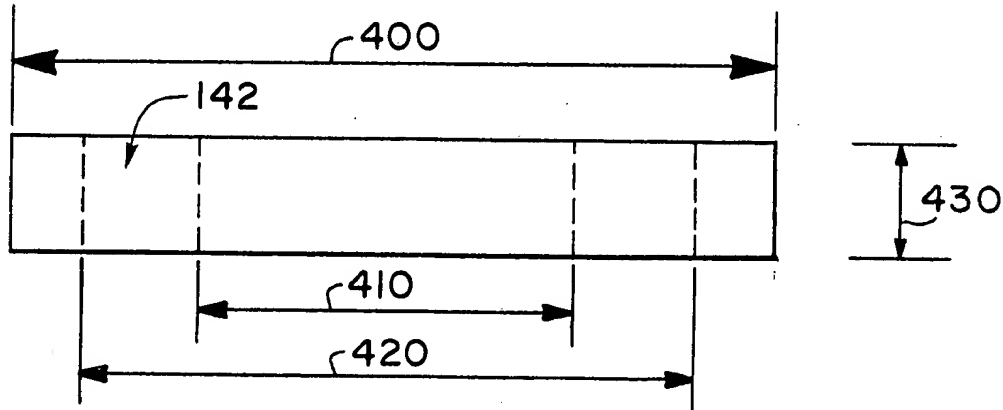


Fig. 5

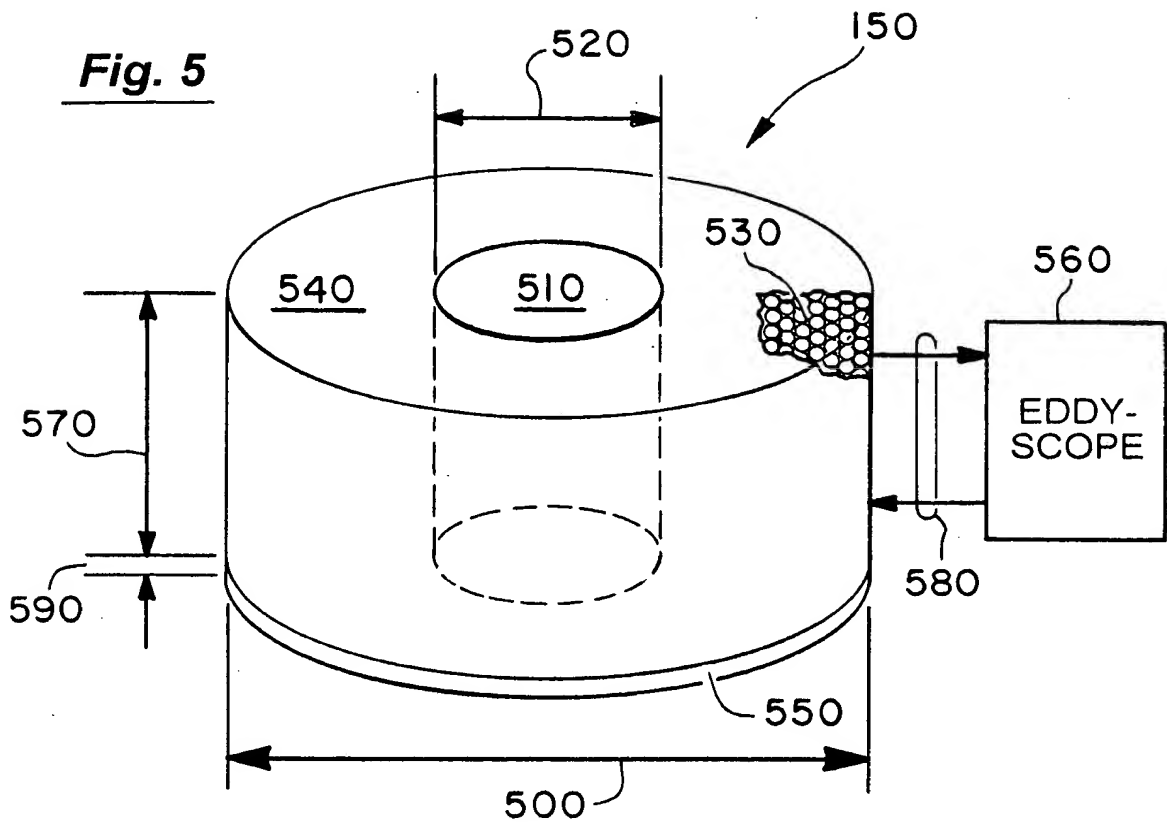
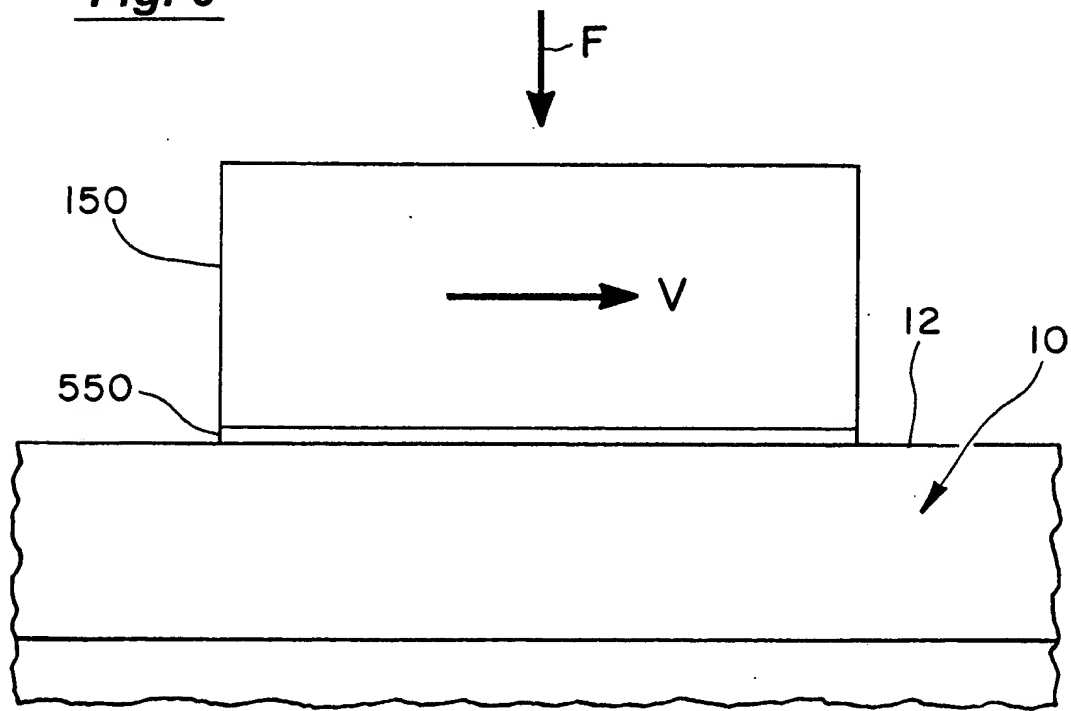


Fig. 6



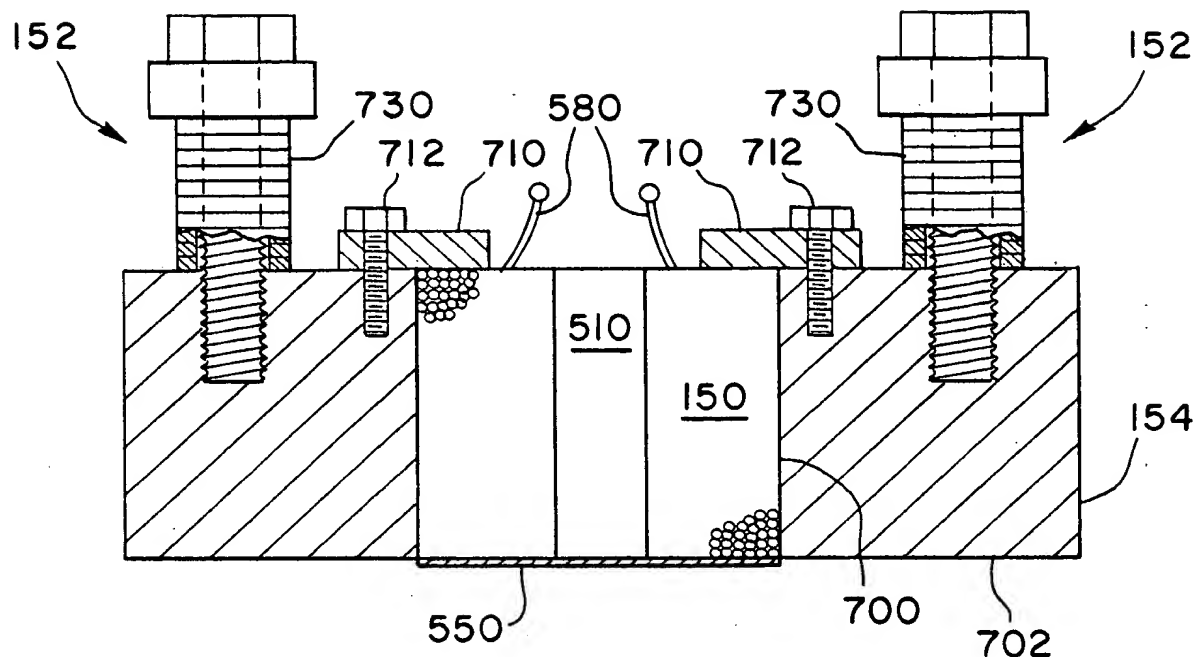


Fig. 7

Fig. 10

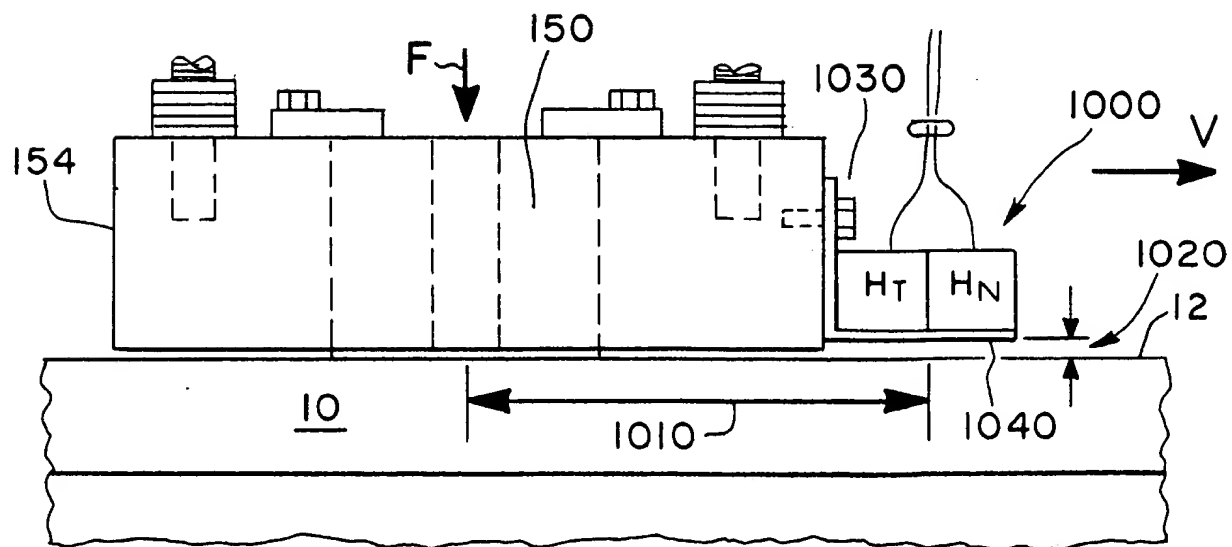


Fig. 8

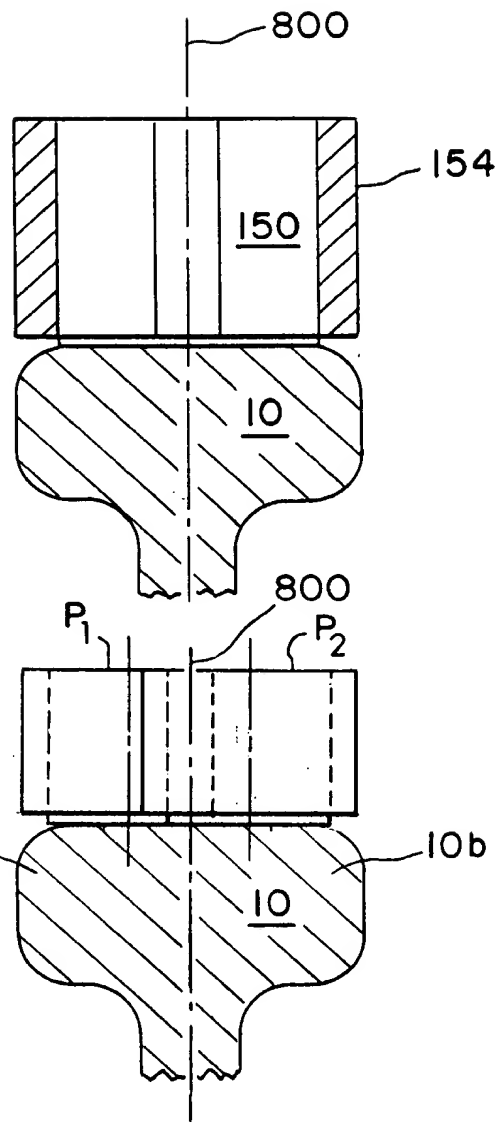


Fig. 9(a)

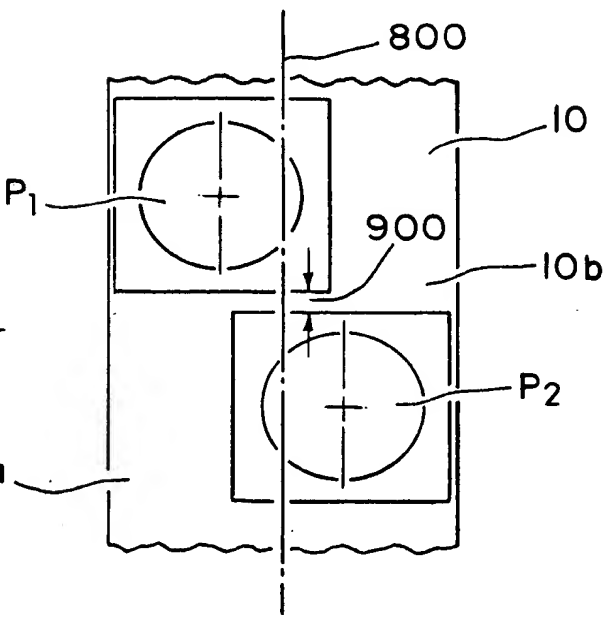
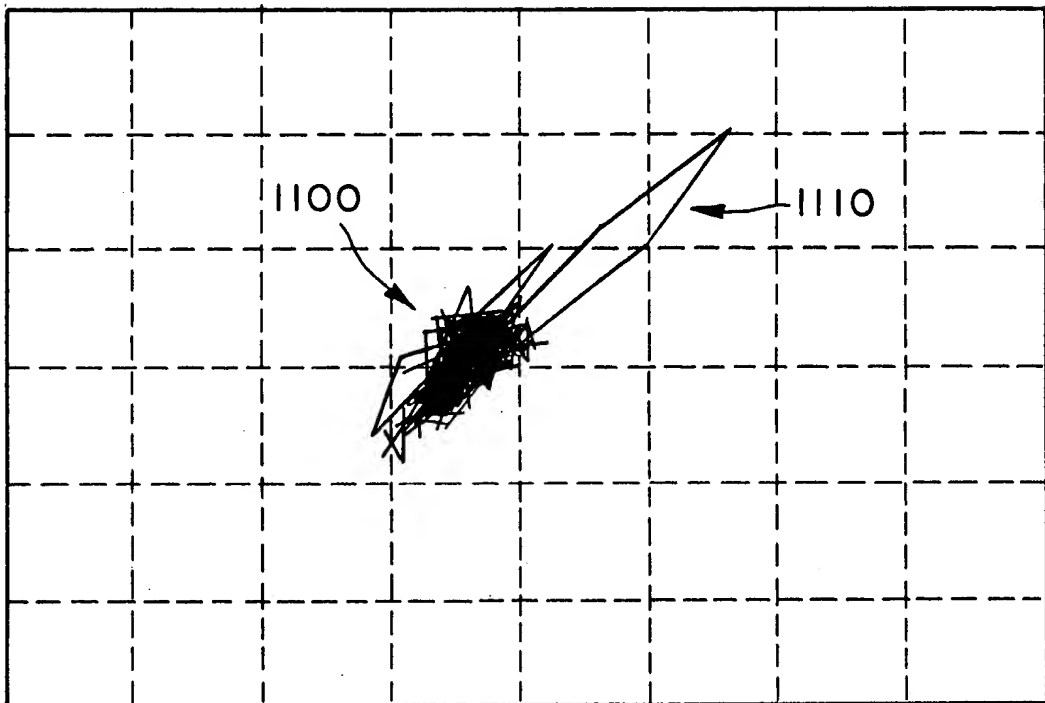


Fig. 9(b)

Fig. 11



1200 10



Fig. 12(a)

H_N 1210



Fig. 12(b)

H_T 1220

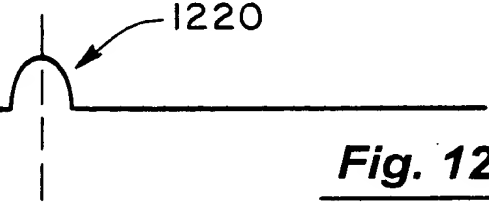


Fig. 12(c)

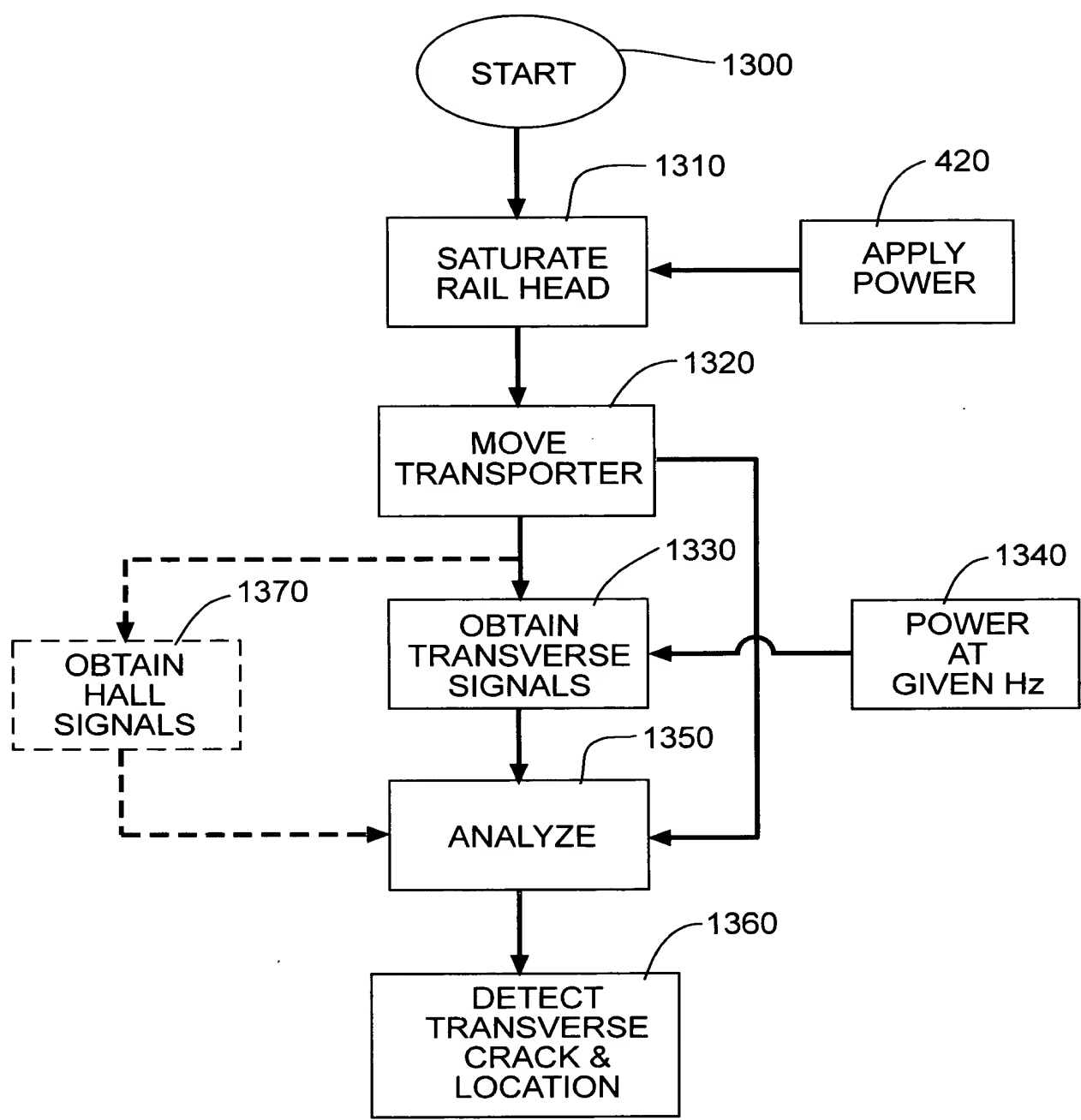


Fig. 13

Fig. 14

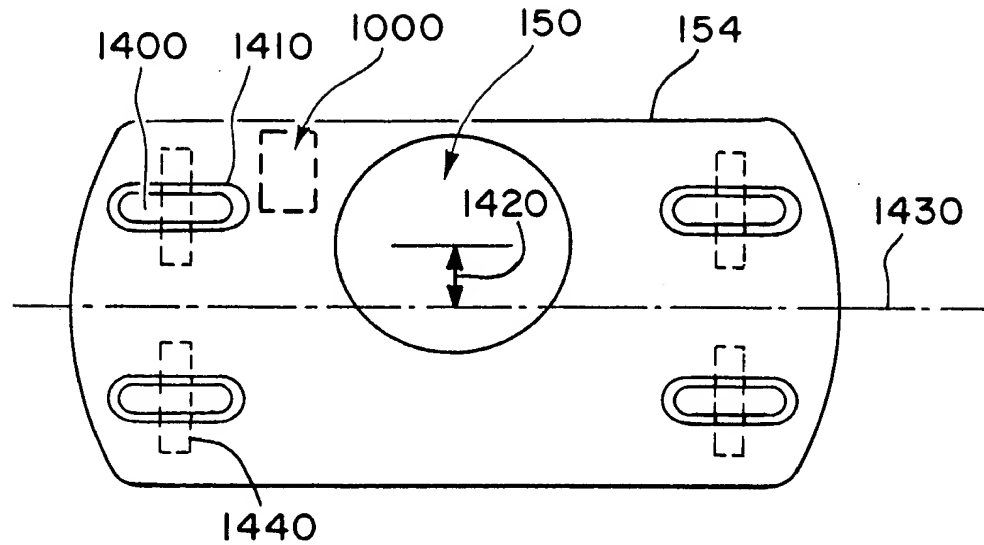


Fig. 15

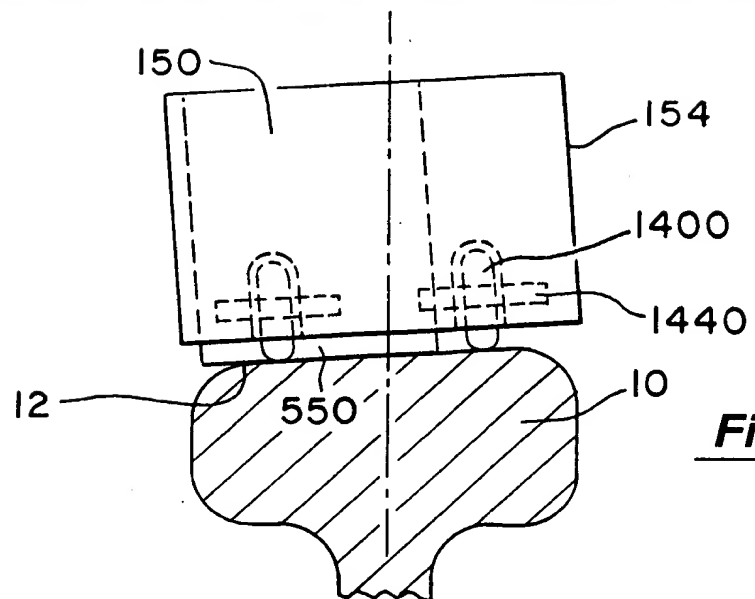
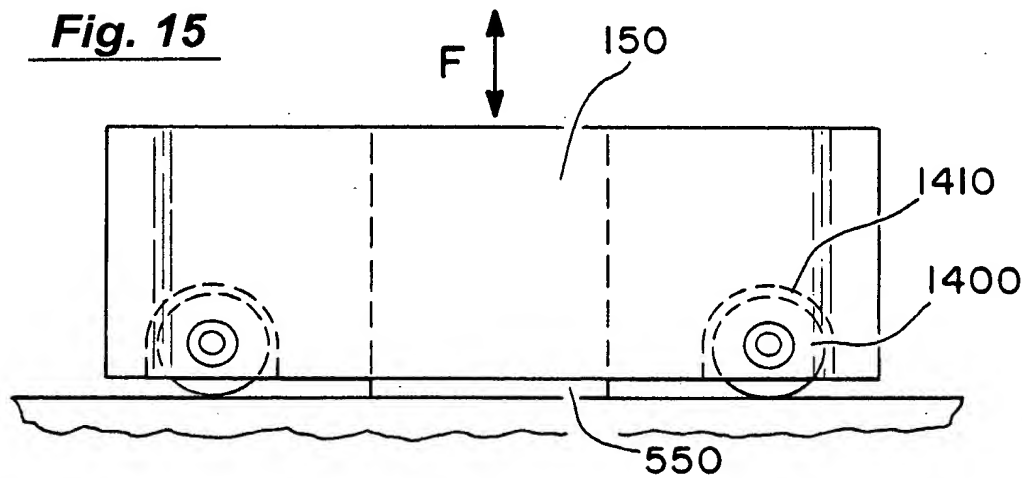


Fig. 16